

Bild C1: Radialgitter (Siemenssterne) N-W, W-N, N-Z und W-Z; PS-Operator: $w^*lin 1.0 exp setgray$

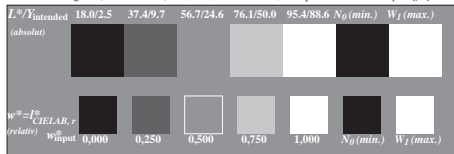


Bild C2: 5 visuell gleichabständige L^* -Graustufen + N_0 + W_1 ; PS-Operator: $w^*lin 1.0 exp setgray$



Bild C3: 16 visuell gleichabständige L^* -Graustufen; PS-Operator: $w^*lin 1.0 exp setgray$; benutze Datei www.bam.de/EG87/10F/F87G00F1.PS oder [/F87G00F1.PS/PDF](http://www.bam.de/EG87/10F/F87G00F1.PS/PDF) für DPS-/PDF-Systeme zur Bild-Ergänzung



Bild C4: Landoltringe W-N; PS-Operator: $w^*lin 1.0 exp setgray$

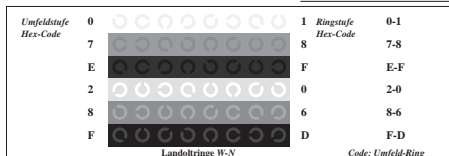


Bild C5: Linienraster unter 45° (oder 135°); PS-Operator: $w^*lin 1.0 exp setgray$

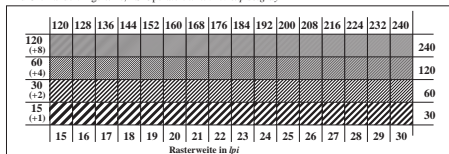


Bild C6: Linienraster unter 90° (oder 0°); PS-Operator: $w^*lin 1.0 exp setgray$

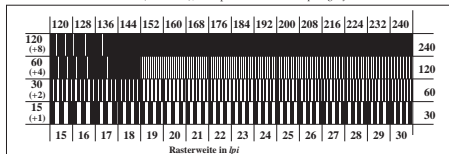


Bild C7: 16 visuell gleichabständige L^* -Graustufen; PS-Operator: $w^*lin 1.0 exp setgray$; benutze Datei www.bam.de/EG87/10F/F87G00F1.PS oder [/F87G00F1.PS/PDF](http://www.bam.de/EG87/10F/F87G00F1.PS/PDF) für DPS-/PDF-Systeme zur Bild-Ergänzung

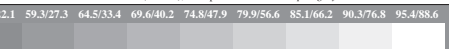


Bild C8: 16 visuell gleichabständige L^* -Graustufen; PS-Operator: $w^*lin 1.0 exp setgray$; benutze Datei www.bam.de/EG87/10F/F87G00F1.PS oder [/F87G00F1.PS/PDF](http://www.bam.de/EG87/10F/F87G00F1.PS/PDF) für DPS-/PDF-Systeme zur Bild-Ergänzung



Bild C9: 16 visuell gleichabständige L^* -Graustufen; PS-Operator: $w^*lin 1.0 exp setgray$; benutze Datei www.bam.de/EG87/10F/F87G00F1.PS oder [/F87G00F1.PS/PDF](http://www.bam.de/EG87/10F/F87G00F1.PS/PDF) für DPS-/PDF-Systeme zur Bild-Ergänzung



Bild C10: 16 visuell gleichabständige L^* -Graustufen; PS-Operator: $w^*lin 1.0 exp setgray$; benutze Datei www.bam.de/EG87/10F/F87G00F1.PS oder [/F87G00F1.PS/PDF](http://www.bam.de/EG87/10F/F87G00F1.PS/PDF) für DPS-/PDF-Systeme zur Bild-Ergänzung



Bild C11: 16 visuell gleichabständige L^* -Graustufen; PS-Operator: $w^*lin 1.0 exp setgray$; benutze Datei www.bam.de/EG87/10F/F87G00F1.PS oder [/F87G00F1.PS/PDF](http://www.bam.de/EG87/10F/F87G00F1.PS/PDF) für DPS-/PDF-Systeme zur Bild-Ergänzung